

III-48 低速度ホアキンソン棒法の問題点

東海大学工学部 正員 森田 定市
 " " 宇都一馬
 " " 赤石 勝

1. まえがき

材料の圧縮試験において材料の力学的性質は、ヒズミ速度によって影響を受け、土についても静的荷重を受ける場合にくらべ変形抵抗が大きくなることは、一般によく知られた事実である。

このような土の動的挙動を明らかにするために数多くの高速圧縮試験が試みられており、計測器が高速現象をとらえうる特性を備えていること、また高速圧縮試験に付随する固有の難点であると言われる材料の弾性限度附近に含まれる誤差⁽¹⁾をいかに縮小するかという問題について、なお検討すべき点が残されていると思われる。

このような見地から、著者らは、金属材料や高分子材料の高速圧縮試験に数多く用いられ、高速現象の応答特性良好な実験手法であると言われているHopkinson split-bar technique(以下ホアキンソン棒法と呼ぶ。)による土の高速圧縮試験について研究してきたが⁽²⁾、この報告は、高速圧縮变形(ヒズミ速度約 $10\sim 80\text{ sec}^{-1}$)を受ける粘性土の弾性限度附近の応力ヒズミ曲線をより正確に求めることを主眼とする低打撃速度の実験を行ない、その実験・解析上の問題点を検討したものである。

2. 実験方法および試料土

図-1に実験装置の概要を示す。細い糸で吊り下げられている打撃棒を一定の高さから落させ入力棒の一端に衝突させると、打撃棒と入力棒内に弾性圧縮波が発生し棒内を伝播する。入出力棒にはられたヒズミゲージで、試料と入出力棒間に生ずる弾性圧縮波の入射、反射による変化を継続的に記録することにより試料両端における応力と変位の時間的変化が決定できる。粘性土の実験であるのでホアキンソン棒としてナイロン棒(弾性係数 31600 Kg cm^2 、単位体積重量 $1.10 \times 10^3\text{ Kg cm}^{-3}$)を用いた。

実験に使用した試料土は、東京湾岸道路予定地で採取した粘土である。(採取深さ $25\sim 35\text{ m}$) この試料の物理的性質は、表-1に示す。

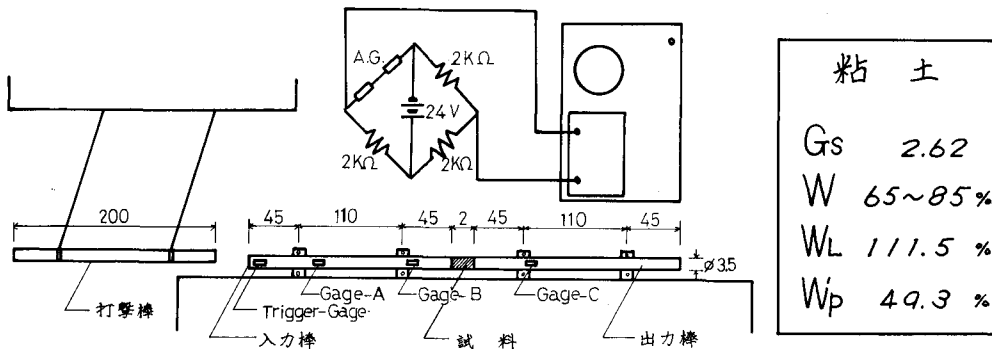


図 - 1

表 - 1

3. 実験上の問題点の検討

3.1. 低打撃速度の影響 ホアキンソン棒法では、棒の材質と打撃速度によって試料のヒズミ速度と入射応力ステップが決定されるので、弾性限度附近の挙動を明らかにするためには、低い打撃速度で実験する必要がある。打撃棒と入力棒が全断面同時接触という理想的な衝突をして、また打撃面の凹凸の影響が無視しきる程度であれば、入力棒内に発生する弾性圧縮波は完全な矩形波となり入力棒内を伝播する。ホアキンソン棒法による従来の解析法では、入力棒内にこのような理想的な矩形波が発生することを前提としている。ここでもし矩形波が発生しなければ、入力棒と試料との境界面の応力は、Bゲージのみでは求められない。(矩形波ならば、B,Cの2枚のゲージでよい。)

ホアキンソン棒法による土の高速圧縮試験法を研究したのは、著者らの知るかぎりでは H.B. Poorooshab⁽³⁾だけのようであるが、この実験の観測波形は変形されているため試料の明確な応力-ヒズミ曲線は求められていないと思われる。

このように粘性土を対象とした低打撃速度(30 cm/sec)の実験では矩形波を得ることは実験技術上かなり困難であるので、むしろ矩形波は発生しないものとし実験法を検討すべきであろう。

3.2. 測定波形の解析法 まずホアキンソン棒法による弾性圧縮波の観測波形について述べる。入出力棒間に試料をおかずに入力棒を接触させてゲージA、ゲージBによって圧縮波形全体(ほぼ完全な矩形波と言える。)を測定したのが写真-1である。入出力棒が接触していなければ出力棒に圧縮波は伝わらず、波形は写真-2のようになる。写真-3が入出力棒間に粘土試料をサンドウイッチした場合の実験波形の一例である。矩形波であれば写真-3のようにゲージB、ゲージCの波形で十分なのであるが、低打撃速度の実験では、写真-4に示すように全断面同時接触をしていないための影響が大きくあらわれ矩形波ではなく、変形された波形を生じ従来の方法では解析できない。そこでさらに入力棒によって圧縮波形全体を測定し、以下述べる解析法により試料両端の応力と変位を求める必要がある。写真-4において σ_1 はゲージA、 σ_3 はゲージB、 σ_4 はゲージCで測定した波形である。この観測波形から図-2を描く。すなわち σ_1 を σ_3 の立ち上り部に移動させ、さらにゲージBと試料間の圧縮波の往復時間($t = 2d/C$
 d はゲージと試料間距離、 C は棒内弾性波速度)だけずらし σ_2 とすれば、試料と入出力棒の境界面での応力と変位速度は、次式から求められる。

入力棒と試料の境界面の応力 σ_{SI} 、変位速度 V_{SI} は、

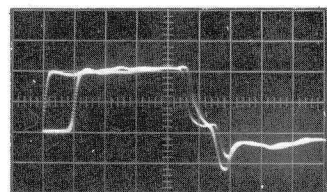


写真-1. 落下高 15 cm
縦軸 AB...6.24 kg/cm²/div, 横軸 0.5 msec/div.

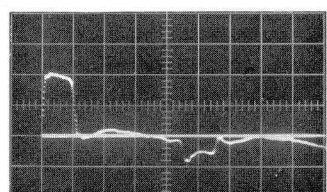


写真-2. 落下高 15 cm
縦軸 A,B...6.24 kg/cm²/div, 横軸 0.5 msec/div.

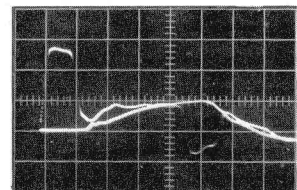


写真-3 落下高 10 cm
縦軸 B...3.08 kg/cm²/div, 横軸 0.5 msec/div

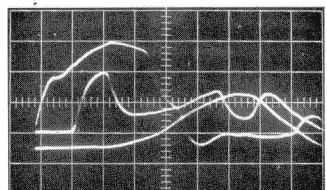


写真-4 落下高 0.5 cm
縦軸 A...0.520 kg/cm²/div, B...0.60 kg/cm²/div
C...0.610 " , 横軸 0.5 msec/div.

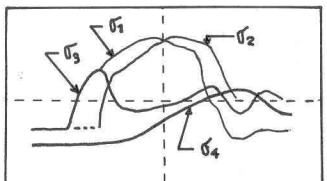


図-2

$$\sigma_{SI} = \sigma_3 + \sigma_2 - \sigma_1$$

$$V_{SI} = (\sigma_1 + \sigma_2 - \sigma_3) \cdot \dot{\epsilon} / G \cdot C$$

出力棒と試料の境界面の応力 σ_{SI} , 変位速度 V_{SI} は,

$$\sigma_{SI} = \sigma_4$$

$$V_{SI} = \sigma_4 \cdot \dot{\epsilon} / G \cdot C$$

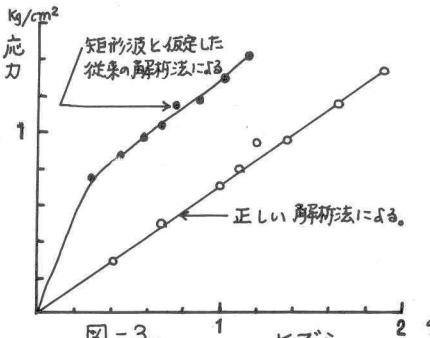
となる。 $\dot{\epsilon}$ は重力加速度, G は棒の単位体積重量である。

試料両端の応力の平均値を近似的に試料の応力 σ と考え
ヒズミ速度 $\dot{\epsilon}$ とは、試料両端の変位速度の差を試料長 L で割
ることによって求められる。

$$\sigma = (\sigma_{SI} + \sigma_{SI})/2 = (\sigma_4 + \sigma_3 + \sigma_2 - \sigma_1)/2$$

$$\dot{\epsilon} = (V_{SI} - V_{SI})/L = (\sigma_1 + \sigma_2 - \sigma_3 - \sigma_4)/L$$

$$\epsilon = \frac{1}{G \cdot C \cdot L} \int_0^t (\sigma_1 + \sigma_2 - \sigma_3 - \sigma_4) dt$$



4. 実験結果と考察

4.1. 解析法の差異 Aゲージによる圧縮波形全体の測定がなければ、写真-4に示すような変形され
た波形が生じていろいろのがわからなくなることになる。もしこれを矩形波として従来の解析法によれば、図
-3に示すようになり正しい応力-ヒズミ曲線は得られない。

4.2. 応力-ヒズミ曲線と落下高さ

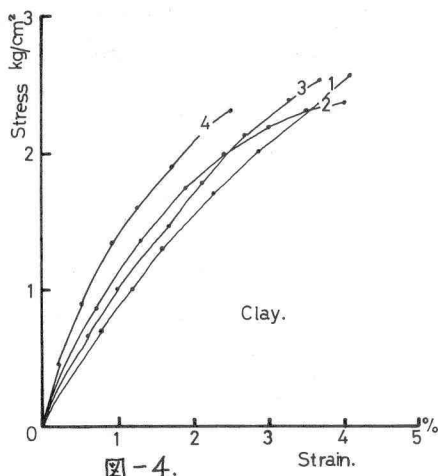


図-4.

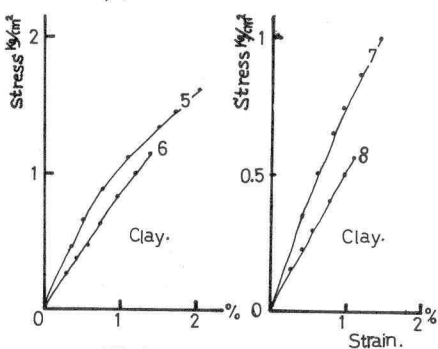
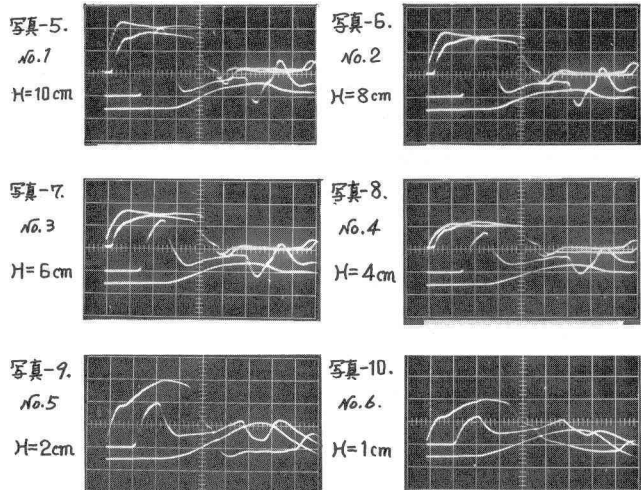


図-5.

No. 1, No. 2, No. 3, No. 4 ... 繊軸 A ... 3.03 kg/cm²/div, B ... 3.04 kg/cm²/div.
C ... 3.04 kg/cm²/div. 振動 0.5 msec/div.

No. 5, No. 6, No. 7 ... 繊軸 A ... 1.55 kg/cm²/div, B ... 1.51 kg/cm²/div.
C ... 1.52 kg/cm²/div.

No. 8 ... 繊軸 A ... 0.62 kg/cm²/div, B ... 0.60 kg/cm²/div, C ... 0.61 kg/cm²/div.

注. No. 1~No. 4には、トリガ用ゲージの頭部が1本余分に入っているが、解説には無関係である。

落下高さ 10 cm 以上では、入力棒内に発生する圧縮波形は矩形波に近い状態であるが、8 cm 以下では徐々に打撃面の影響が大きく作用して、変形された波形となってゆく過程が写真-7から写真-12の実験記録によくあらわれている。矩形波が生じなくとも図-4、図-5の応力-ヒズミ曲線を観察すると粘土の弾性限度付近までの挙動を、低速度ホブキンソン法によってかなり正確に測定できているようと思われる。実験には 2 m のナイロン棒を用いているので、約 2.47 msec 後に除荷波が到着し試料の圧縮は終了する。このため本実験では最大圧縮強度は求められなかった。小応力から最大圧縮強度にいたる応力-ヒズミ曲線を測定するには、打撃棒、入出力棒の長さを増す必要がある。

表-2.

	静的圧縮試験	高速圧縮試験
標本の大きさ	3	41
標本平均 $E_{0.5}^{0.5}$ MPa	20.7	99.5
標準偏差平方和	32.3	1820
標本の実現値	2.83	
有意水準 5% 下	3.23	

5. むすび

従来のホブキンソン法の実験装置の一部と解析法を改良した低速度ホブキンソン法によって、高速圧縮変形を受ける粘性土の弾性限度付近の応力ヒズミをかなり正確に測定することができます。

ホブキンソン法による高速圧縮試験の変位速度は、たとえばクイ光端地盤がクイ打込みのとき受ける変位速度に相当する。今後著者らは、ホブキンソン法による実験結果を利用して標準貫入試験などを対象としたロッドの地盤への貫入機構について検討したいと考えている。

おわりに本実験に協力してくれた本学生高木通雅君に深く謝意を表します。

参考文献

- (1). 山田・沢田 ; "材料の高速圧縮試験に関する研究", 塑性と加工 Vol.9. 1968
- (2) 森田・宇都・冬木赤石 ; "土の動的挙動に関する実験的研究", 第3回日本地震工学シンポジウム
- (3) H. B. Poorooshab et.; "Response of a clay sample to low magnitude loads applied at a high rate." International Symposium on wave propagation. 1967.